

УДК 531.383

© 1990 г.

В. В. РУМЯНЦЕВ

ОБ УСТОЙЧИВОСТИ ПЕРМАНЕНТНЫХ ВРАЩЕНИЙ НЕСИММЕТРИЧНОГО ГИРОСКОПА С ЖИДКИМ ЗАПОЛНЕНИЕМ

Исследуются перманентные вращения тяжелого несимметричного гироскопа с жидким заполнением, представляющего собою некоторое твердое тело с неподвижной точкой и полостью произвольной формы, целиком заполненное вязкой жидкостью, с центром тяжести на одной из главных осей инерции системы. Найдено геометрическое место всех перманентных осей вращения, получены достаточные условия устойчивости и неустойчивости перманентных вращений, даны бифуркационные диаграммы и указаны два возможных типа катастроф, приводящих к опрокидыванию гироскопа. Как частные случаи рассмотрены движения гироскопа по инерции, а также динамически симметричного тяжелого гироскопа.

Рассмотрим некоторое твердое тело с неподвижной точкой O , имеющее полость произвольной формы, целиком заполненную однородной вязкой жидкостью. Тело и жидкость в его полости будем рассматривать как одну механическую систему, движущуюся в однородном поле сил тяжести и представляющую собой в общем случае несимметричный гироскоп с жидким заполнением.

Пусть $O\xi\eta\zeta$ — неподвижная система осей координат, ось ζ которой направлена вертикально вверх, $Oxyz$ — жестко связанная с телом система координат с осями, направленными по главным осям инерции гироскопа для точки O . Моменты инерции гироскопа относительно осей x , y , z обозначим через A , B , C и пусть центр тяжести находится на оси z и имеет координату $z_0 = a > 0$, Mg — вес гироскопа. Ориентацию гироскопа в системе координат $O\xi\eta\zeta$ будем определять обычными углами Эйлера: нутации θ , прецессии ψ , собственного вращения φ .

Очевидно, момент силы тяжести относительно вертикали ζ равен нулю, вследствие чего проекция k момента количества движения гироскопа на вертикаль остается постоянной во все время движения, $k = \text{const}$. При этом среди действительных движений гироскопа имеются стационарные движения, представляющие собою равномерные вращения всей системы как одного твердого тела вокруг вертикали ζ , называемые перманентными вращениями. Для таких вращений углы нутации θ и собственного вращения φ остаются постоянными, как и угловая скорость прецессии $\dot{\psi}$.

При каждом фиксированном значении $k = k_0$ постоянной интеграла площадей перманентные вращения определяются из условия [1] $\delta W = 0$ стационарности измененной потенциальной энергии системы

$$W = \frac{1}{2} k_0^2 / J + \Pi \quad (1)$$

где Π — потенциальная энергия, J — момент инерции относительно оси ζ , не зависящие от угла прецессии ψ .

Отметим, что функция W для твердого тела с полостью, целиком заполненной жидкостью, имеет точно такой же вид, как и для одного твердого тела с такими же моментом инерции J относительно оси ζ и потенциальной энергией Π активных сил.

Условие $\delta W = 0$ позволяет найти в системе координат $Oxyz$ все перманентные оси и их геометрическое место. Угловая скорость вращения вокруг любой из таких осей, совмещенной с вертикалью ζ , определяется ра-

$$\omega = k_0/J_0 \quad (2)$$

где J_0 — величина момента инерции J относительно рассматриваемой оси.

Потенциальную энергию и момент инерции относительно оси ζ , фигурирующие в выражении (1), для нашей системы удобно представить в виде

$$\Pi = Mga\gamma_3, \quad J = A\gamma_1^2 + B\gamma_2^2 + C\gamma_3^2 \quad (3)$$

где γ_i ($i=1, 2, 3$) — косинусы углов между осями x, y, z и вертикальной осью ζ , причем $\gamma_1^2 + \gamma_2^2 + \gamma_3^2 = 1$. В углах Эйлера

$$\gamma_1 = \sin \theta \sin \varphi, \quad \gamma_2 = \sin \theta \cos \varphi, \quad \gamma_3 = \cos \theta$$

Условие стационарности функции $W(\gamma_1, \gamma_2)$ эквивалентно двум нелинейным уравнениям

$$\begin{aligned} \frac{\partial W}{\partial \gamma_1} &= \left[\frac{k_0^2}{J^2} (C-A) - Mga \frac{1}{\gamma_3} \right] \gamma_1 = 0 \\ \frac{\partial W}{\partial \gamma_2} &= \left[\frac{k_0^2}{J^2} (C-B) - Mga \frac{1}{\gamma_3} \right] \gamma_2 = 0 \end{aligned} \quad (4)$$

в которых квадрат постоянной интеграла площадей k_0^2 играет роль управляющего параметра, могущего изменяться в пределах от 0 до ∞ .

Уравнения (4) имеют многообразия решений (инвариантные многообразия):

$$\gamma_1 = \gamma_2 = 0 \quad (\gamma_3 = \pm 1) \quad (5)$$

при любой величине параметра k_0^2 , описывающие перманентные вращения системы вокруг вертикально расположенной оси z с постоянной угловой скоростью $\omega = k_0/C$, и, в частности, равновесия при $k_0 = 0$, а также

$$\gamma_1 = 0, \quad \gamma_2 \neq 0, \quad \frac{k_0^2}{J_1^2} (C-B) - Mga \frac{1}{\gamma_3} = 0 \quad (6)$$

$$\gamma_2 = 0, \quad \gamma_1 \neq 0, \quad \frac{k_0^2}{J_2^2} (C-A) - Mga \frac{1}{\gamma_3} = 0 \quad (7)$$

при k_0^2 не меньших некоторых значений k_{01}^2 и k_{02}^2 , указанных ниже, описывающие перманентные вращения гироскопа вокруг осей, расположенных в плоскостях Oyz и Oxz , соответственно, и совмещенных с вертикалью ζ , причем $J_1 = B - (B-C)\gamma_3^2$, $J_2 = A - (A-C)\gamma_3^2$.

Эти две плоскости представляют собою геометрическое место перманентных осей в системе координат $Oxyz$, в которые вырождается в случае $x_0 = y_0 = 0$, $z_0 \neq 0$ конус Штауде [2]. Величины произвольных по направлению угловых скоростей вращений вокруг перманентных осей определяются равенствами (6) и (7), в которых согласно (2) следует положить, соответственно, $k_0^2/J_1^2 = \omega^2$ и $k_0^2/J_2^2 = \omega^2$.

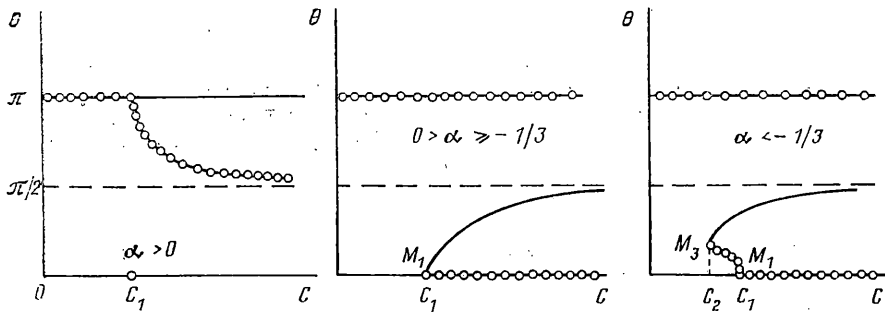
Так как для действительного перманентного вращения $\omega^2 > 0$, то допускаемыми [2] осями в указанных плоскостях будут полупрямые из начала координат 0, для которых $\gamma_3 = \cos \theta > 0$ в случаях $C > B$ и $C > A$, или $\gamma_3 = \cos \theta < 0$ в случаях $B > C$ и $A > C$. Таким образом, допускаемыми осями являются все прямые, расположенные в полуплоскостях $(y, z, -y)$ и $(x, z, -x)$ в случае $\cos \theta > 0$, или в полуплоскостях $(y, -z, -y)$ и $(x, -z, -x)$ в случае $\cos \theta < 0$, за исключением главных осей инерции x и y .

Рассмотрим уравнение (6), которое удобно представить в виде

$$f(\theta, c) = 1 + c\alpha \cos \theta / (1 - \alpha \cos^2 \theta)^2 = 0 \quad (8)$$

$$c = k_0^2 / (MgaB); \quad \alpha = (B-C)/B \quad (9)$$

Так как $c > 0$, то очевидно, что угол θ заключен в пределах $0 \leq \theta < \pi/2$



при $\alpha < 0$, $\pi/2 < \theta \leq \pi$ при $\alpha > 0$, причем $\theta = 0, \pi$ при $c = c_1 = (1 - \alpha)^2 |\alpha|^{-1}$, $\theta \rightarrow \pi/2$ при $c \rightarrow \infty$.

Уравнение (8) при замене переменной θ на $\pi - \theta$ и обозначения постоянной c на β принимает вид уравнения (4.5), исследованного в [3]. Воспользуемся полученными в [3] результатами и представим вид бифуркационных диаграмм (см. фигуру) для вращений вокруг перманентных осей в плоскости Oyz в зависимости от величины постоянной α , характеризующей гироскоп при данных значениях моментов инерции B и C . Кривая стационарных движений (перманентных вращений) гироскопа вокруг вертикально направленных осей, расположенных в главной плоскости инерции Oyz , изображается на плоскости (θ, c) тремя ветвями C_s ($s=1, 2, 3$), первые две из которых суть прямые $\theta=0$ и $\theta=\pi$, соответствующие многообразию решений (5), а третья — кривая $\theta=\theta(c)$, заданная в виде неявной функции уравнением (8) и соответствующая многообразию решений (6). На диаграмме точки

$$M_1(\theta=0, c=c_1), \quad M_2(\theta=\pi, c=c_1) \quad \text{и} \quad M_3\left(\theta=\arccos\left(\frac{1}{3|\alpha|}\right)^{1/2}, c=c_2\right)$$

изображают точки бифуркации, причем

$$c_1 = (1 - \alpha)^2 |\alpha|^{-1} = \frac{C^2}{B|B-C|} > c_2 = \frac{16}{9} \left(\frac{3}{|\alpha|}\right)^{1/2} = \frac{16}{27^{1/2}} \left(\frac{B}{C-B}\right)^{1/2}$$

Упомянутые выше величины k_{01}^2 и k_{02}^2 определяются для плоскости Oyz равенствами $k_{0s}^2 = MgaBc_s$ ($s=1, 2$). Касательные к ветви C_s в точках M_s параллельны оси $c=0$.

Бифуркационные диаграммы для вращений вокруг перманентных осей, расположенных в плоскости Oxz , будут подобны диаграммам на фигуре, так как уравнение (7) также можно представить в виде (8), если вместо (9) ввести обозначения

$$c = k_0^2 / (MgaA), \quad \alpha = (A - C) / A \quad (10)$$

и учесть, что абсциссами точек бифуркации будут величины

$$c_1 = \frac{C^2}{A|A-C|} > c_2 = \frac{16}{27^{1/2}} \left(\frac{A}{C-A}\right)^{1/2}$$

причем величины k_{01}^2 и k_{02}^2 определяются равенствами $k_{0s}^2 = MgaAc_s$ ($s=1, 2$). Обозначения (9) и (10) совпадают при $A=B$, как и последние из равенств (6) и (7).

Перейдем к исследованию устойчивости перманентных вращений гироскопа. Под устойчивостью движения твердого тела с полостью, заполненной жидкостью, будем понимать устойчивость в смысле Ляпунова по отношению к переменным γ_1, γ_2 , от которых явно зависят выражения (3) для Π и J (следовательно, в случае невырожденности при $\theta \neq 0, \pi$, и по отношению к переменным θ, φ), обобщенным скоростям θ', φ', ψ' гироскопа и кинетической энергии жидкости T_r в полости в ее относительно движении. Согласно теоремам VI и VII монографии [I, гл. IV] перманентное вращение твердого тела с полостью, целиком заполненной вяз-

кой жидкостью, устойчиво в указанном смысле, если для него функция W имеет изолированный минимум, причем всякое достаточно близкое к нему возмущенное движение стремится в пределе при $t \rightarrow \infty$ к перманентному вращению всей системы как одного твердого тела (соответствующему возмущенной величине параметра $k = k_0 + \Delta k$). Если же в сколь угодно малой окрестности изолированного (при $k = k_0$) стационарного значения функции W выражение $W - W_0$, где W_0 — значение W для невозмущенного движения, может принимать отрицательные значения, то перманентное вращение твердого тела с вязкой жидкостью в его полости неустойчиво¹.

Асимптотическое стремление возмущенного движения к перманентному вращению, отвечающему возмущенной величине параметра $k = k_0 + \Delta k$, означает асимптотическую устойчивость невозмущенного движения по отношению к части переменных, а именно к θ , φ , T_7 , а для ветвей C_1 и C_2 , за исключением окрестностей точек бифуркации M_1 и M_2 , и по отношению к γ_1 , γ_2 . Асимптотическая устойчивость изолированного перманентного вращения по всем переменным возможна лишь при условии, что для возмущенных движений параметр $k = k_0$.

В случаях, представляющих практический интерес, задача поиска минимума функции W решается исследованием ее второй вариации $\delta^2 W$. Вторые частные производные функции $W(\gamma_1, \gamma_2)$ равны

$$\begin{aligned} \frac{\partial^2 W}{\partial \gamma_1^2} &= \frac{k_0^2}{J^2} (C-A) - Mga \frac{1}{\gamma_3} + \gamma_1^2 \left[4(A-C)^2 \frac{k_0^2}{J^3} - Mga \frac{1}{\gamma_3^3} \right] \\ \frac{\partial^2 W}{\partial \gamma_2^2} &= \frac{k_0^2}{J^2} (C-B) - Mga \frac{1}{\gamma_3} + \gamma_2^2 \left[4(B-C)^2 \frac{k_0^2}{J^3} - Mga \frac{1}{\gamma_3^3} \right] \\ \frac{\partial^2 W}{\partial \gamma_1 \partial \gamma_2} &= \left[4(A-C)(B-C) \frac{k_0^2}{J^3} - Mga \frac{1}{\gamma_3^3} \right] \gamma_1 \gamma_2 \end{aligned} \quad (11)$$

Очевидно, для всех решений (5)–(7) производная $\partial^2 W / \partial \gamma_1 \partial \gamma_2 = 0$. С учетом выражений (11), а также равенств (6) и (7) заключаем, что необходимые и достаточные условия определенной положительности $\delta^2 W$, а, значит, и достаточные условия устойчивости перманентных вращений, описываемых многообразиями решений (5)–(7), имеют вид следующих неравенств:

для многообразий решений (5):

$$(C-A) \frac{k_0^2}{C^2} > \pm Mga, \quad (C-B) \frac{k_0^2}{C^2} > \pm Mga \quad (12)$$

причем знак плюс для случая $\gamma_3 = 1$, знак минус — для $\gamma_3 = -1$:

для многообразия решений (6):

$$B > A, B > C \text{ или } A < B < C, \cos^2 \theta > \frac{1}{3} B / (C-B) \quad (13)$$

для многообразия решений (7):

$$A > B, A > C \text{ или } B < A < C, \cos^2 \theta > \frac{1}{3} A / (C-A) \quad (14)$$

При изменении знака на противоположный хотя бы одного из неравенств групп условий (12)–(14) соответствующее перманентное вращение твердого тела с вязкой жидкостью в полости будет неустойчивым.

Таким образом доказано, что перманентные вращения вокруг осей, расположенных в плоскости Oyz (Oxz), устойчивы, если ось Oz , несущая центр тяжести гироскопа, является большой или средней осью эллипсоида инерции гироскопа для точки O , а ось Oy (Ox) — малой осью, или если ось Oz — малой осью, а ось Oy (Ox) — средней осью и при этом

¹ В формулировке теоремы VII говорится об изолированном установившемся движении, но фактически имеется в виду изолированность по отношению к переменным q_j ($j=1, \dots, n-1$) стационарного значения W , о чем определено сказано в самом начале доказательства теоремы [1, с. 185].

$\gamma_3 = \cos \theta$ удовлетворяет последнему из неравенств (13), (14); в остальных случаях — неустойчивы.

На бифуркационных диаграммах кружочками отмечены области устойчивости перманентных вращений вокруг осей, расположенных в плоскости Oyz при условии $B > A$ и в плоскости Oxz при условии $A > B$; остальные точки ветвей C_s отвечают неустойчивым перманентным вращениям. Смена устойчивости на ветвях C_s происходит в точках бифуркации.

Отметим, что согласно результатам п. 4 [3] фигура при обозначениях (9) представляет также бифуркационные диаграммы для гироскопического маятника с полостью, заполненной вязкой жидкостью, и горизонтальной осью подвеса, могущей вращаться вокруг вертикали (фигура получается из фиг. на стр. 932 [3] зеркальным отражением ветвей C_s относительно прямой $\theta = \pi/2$ согласно замене θ на $\pi - \theta$).

Бифуркационные диаграммы позволяют сделать важный вывод о возможности явлений катастроф для твердого тела с жидким наполнением в случаях $C > B$ и $C > A$ ($\alpha < 0$). В самом деле, если проследить за движением изображающей точки по устойчивой части ветви C_1 из какого-либо начального положения правее точки бифуркации M_1 , то при постепенном уменьшении величины параметра c изображающая точка будет непрерывно двигаться влево до тех пор, пока c не станет равной значению c_1 . В случае $0 > \alpha \geq -1/3$ в этот момент произойдет катастрофа: изображающая точка перескакивает на устойчивую ветвь C_2 , т. е. гироскоп опрокинется, и далее изображающая точка будет двигаться влево по ветви C_2 . В случае $\alpha < -1/3$ изображающая точка при $c = c_1$ переходит на устойчивую часть ветви C_3 и, достигнув точки бифуркации M_3 , перескакивает на устойчивую ветвь C_2 , т. е. происходит катастрофа, гироскоп опрокидывается, и далее точка будет двигаться по ветви C_2 .

Постепенное уменьшение параметра k_0^2 может происходить под действием момента неизбежных незначительных внешних сил трения, когда вместо установившегося движения можно говорить о квазиустановившемся движении системы [4].

В заключение рассмотрим два частных случая нашей задачи. Предположим сначала, что центр тяжести гироскопа совпадает с неподвижной точкой O , $a = 0$. В этом случае перманентными осями могут быть лишь главные центральные оси инерции, занимающие произвольные положения в пространстве $O\xi\eta\zeta$. Если принять за перманентную ось z , то, как следует из (12), достаточные условия устойчивости при $k_0 \neq 0$ сводятся к неравенствам $C > A \geq B$, означающим, что ось z должна быть малой осью эллипсоида инерции твердого тела с полостью, заполненной вязкой жидкостью. В случаях, когда ось z является большой или средней осью эллипсоида инерции, движение неустойчиво.

Наконец, предположим, что эллипсоид инерции является эллипсоидом вращения вокруг оси z , несущей центр тяжести системы, т. е. $A = B$. В этом случае выражения (3) принимают вид $\Pi = Mga \cos \theta$, $J = A - (A - C) \cos^2 \theta$ и измененная потенциальная энергия (1) становится функцией одной только переменной $W(\theta) = 1/2 k_0^2 / [A - (A - C) \cos^2 \theta] + Mga \cos \theta$.

Условие стационарности этой функции эквивалентно уравнению

$$\frac{dW}{d\theta} = -\sin \theta \left(\frac{k_0^2 (A - C) \cos \theta}{[A - (A - C) \cos^2 \theta]^2} + Mga \right) = 0 \quad (15)$$

Уравнение (15) имеет инвариантные многообразия $\theta = 0$, $\theta = \pi$ при любом значении параметра k_0 , описывающие перманентные вращения вокруг вертикально направленной оси z , а также многообразие

$$k_0^2 (C - A) \cos \theta / [A - (A - C) \cos^2 \theta]^2 = Mga \quad (16)$$

описывающее перманентные вращения вокруг бесконечного множества направленных вертикально вверх в пространство $O\xi\eta\zeta$ осей, заполняющих в системе координат $Oxyz$ полупространство, образованное плоскостью Oxy и полуосью z , если $C > A$, или полуосью $-z$, если $A > C$, за

исключением плоскости Oxy . Для любой полупрямой из такого полупространства с углом нутации $\theta \neq 0, \pi$ угловая скорость вращения определяется уравнением $\omega^2 = Mga / (C - A) \cos \theta$, тогда как для $\theta = 0, \pi$ угловая скорость произвольна. Как известно [2], в рассматриваемом случае конус Штауде перестает существовать. Вторая производная функции $W(\theta)$ равна

$$\frac{d^2 W}{d\theta^2} = -\cos \theta \left(\frac{k_0^2 (A - C) \cos \theta}{[A - (A - C) \cos^2 \theta]^2} + Mga \right) + \sin^2 \theta \frac{k_0^2 (A - C) [A + 3(A - C) \cos^2 \theta]}{[A - (A - C) \cos^2 \theta]^3}$$

На основании теорем VI и VII [1] заключаем, что достаточные условия устойчивости перманентных вращений динамически симметричного гироскопа с полостью, заполненной вязкой жидкостью, по отношению к переменным $\theta, \dot{\theta}, \varphi, \dot{\varphi}, T_r$ имеют вид неравенств:

для многообразия решений $\theta = 0, \theta = \pi$:

$$k_0^2 (C - A) / C^2 > \pm Mga \quad (17)$$

причем знак плюс для решения $\theta = 0$, знак минус — для $\theta = \pi$, для многообразия решений (16) при $\sin^2 \theta \neq 0$:

$$A > C \text{ или } C > A, \cos^2 \theta > 1/3 A / (C - A) \quad (18)$$

При изменении знака на противоположный в неравенствах (17) или в последнем из неравенств (18) соответствующее перманентное вращение будет неустойчивым.

Таким образом, любое перманентное вращение, принадлежащее инвариантному многообразию (16), устойчиво в случае $A > C$; в случае же $C > A$ устойчивы лишь те из них, для которых выполняется последнее из неравенств (18). Геометрически это означает, что устойчивые перманентные оси расположены в случае $C > A$ внутри кругового конуса с вершиной в неподвижной точке O , осью z и углом полураствора, определяемым равенством $\cos^2 \theta = 1/3 A / (C - A)$; оси вне этого конуса неустойчивы.

Уравнение (16) совпадает с уравнением (8) при обозначениях (10), вследствие чего бифуркационные диаграммы для динамически симметричного гироскопа с вязкой жидкостью в полости имеют вид, изображенный на фигуре в зависимости от значений величины $\alpha = (A - C) / A$, включая распределение областей устойчивости и неустойчивости.

Отметим, что такие же диаграммы приведены в [4] (однако без доказательства и без ссылки на [3]) для симметричного гироскопа с полостью, заполненной вязкой жидкостью. При этом в [4] содержится не правильное утверждение, что теоремы VI и VII [1] приложимы только для несимметричного гироскопа, на самом же деле они приложимы, как следует из изложенного, и к симметричному гироскопу, являющемуся частным случаем несимметричного.

СПИСОК ЛИТЕРАТУРЫ

1. Моисеев Н. Н., Румянцев В. В. Динамика тела с полостями, содержащими жидкость. М.: Наука, 1965. 439 с.
2. Румянцев В. В. Устойчивость перманентных вращений тяжелого твердого тела // ПММ. 1956. Т. 20. Вып. 1. С. 51–66.
3. Румянцев В. В. Об устойчивости стационарных движений // ПММ. 1966. Т. 30. Вып. 5. С. 922–933.
4. Zhu Ruzeng. Inertial manifolds and their stability, bifurcations and catastrophe for symmetric heavy gyroscope with viscous - liquid - filled cavity // Proc. Intern. conf. on dynamics, vibration and control. Beijing, China, Peking: Univ. Press, 1990. P. 481–488.

Москва

Поступила в редакцию
7.IX.1990